

УДК: 539.3

## **Нестационарные поверхностные функции влияния для упруго-пористой полуплоскости**

Нгуен Нгок Хоа, Тарлаковский Д.В.

### **Аннотация**

Рассматривается плоская нестационарная задача о распространении поверхностных возмущений от границы полуплоскости, заполненной упруго-пористой средой. Состоящей из двух фаз: деформируемый скелет и расположенная сжимаемая жидкость в порах. Используется модель Био. Для решения применяются преобразования Фурье по пространственной координате и Лапласа по времени. Оригиналы находятся аналитически в частном случае одномерной задачи и на границе полуплоскости. При этом используется алгоритм совместного обращения преобразований, основанный на построении аналитических представлений изображений.

### **Ключевые слова**

упруго-пористая среда; модель Био; полуплоскость; поверхностные функции влияния; интегральные преобразования Лапласа и Фурье.

### **Введение**

Одной из неклассических моделей сплошных сред является упруго-пористая среда, для которой часто используется модель Био [1]. В монографии [2] рассмотрены различные нестационарные задачи для этой модели. В том числе построены изображения по Лапласу и Фурье поверхностных функций влияния для полупространства. Однако явный вид оригиналов не приводится. Подобные среды рассматриваются и в ряде других работ (см., например, [3,4]). В данной статье аналогично [5] для изотропной упруго-пористой полуплоскости с помощью интегральных преобразований построен явный вид нестационарных поверхностных влияния, соответствующих силовым граничным условиям. Подобные задачи находят применение в различных областях новой техники, в том числе являются составляющими проблемы приземления различных аппаратов авиационной и ракетно-космической техники.

## 1. Постановка задачи

Движение среды описывается линейными уравнениями модели Био относительно скалярных потенциалов  $\varphi_1(x, z, \tau)$ ,  $\varphi_2(x, z, \tau)$  и ненулевой компоненты  $\psi(x, z, \tau)$  векторного потенциала перемещений [2] (точками обозначено дифференцирование по времени  $\tau$ ):

$$\Delta\varphi_k = \gamma_k^2 \ddot{\varphi}_k \quad (k=1,2), \quad \Delta\psi = \gamma_3^2 \ddot{\psi}, \quad \Delta = \frac{\partial^2}{\partial x^2} + \frac{\partial^2}{\partial z^2}. \quad (1.1)$$

Здесь и далее используется прямоугольная декартова система координат  $Oxyz$ , начало которой лежит на границе полуплоскости, а ось  $Oz$  направлена в глубь полуплоскости.

Тангенциальные  $u$  и  $U$ , а также нормальные  $w$  и  $W$  перемещения скелета и жидкости в порах связаны с потенциалами следующими соотношениями:

$$u = \frac{\partial(\varphi_1 + \varphi_2)}{\partial x} - \frac{\partial\psi}{\partial z}, \quad w = \frac{\partial(\varphi_1 + \varphi_2)}{\partial z} + \frac{\partial\psi}{\partial x}, \quad (1.2)$$

$$U = \frac{\partial(\beta_1\varphi_1 + \beta_2\varphi_2)}{\partial x} - \frac{\beta_3\partial\psi}{\partial z}, \quad W = \frac{\partial(\beta_1\varphi_1 + \beta_2\varphi_2)}{\partial z} + \frac{\beta_3\partial\psi}{\partial x}.$$

Кинематические соотношения для такой среды записываются так ( $e_{ij}$  и  $\varepsilon_{ij}$  - компоненты тензоров деформаций в скелете и в жидкости; указаны только ненулевые величины):

$$e_{11} = \frac{\partial u}{\partial x}, \quad e_{13} = \frac{1}{2} \left( \frac{\partial u}{\partial z} + \frac{\partial w}{\partial x} \right), \quad e_{33} = \frac{\partial w}{\partial z}, \quad e = e_{11} + e_{33}, \quad (1.3)$$

$$\varepsilon_{11} = \frac{\partial U}{\partial x}, \quad \varepsilon_{13} = \frac{1}{2} \left( \frac{\partial U}{\partial z} + \frac{\partial W}{\partial x} \right), \quad \varepsilon_{33} = \frac{\partial W}{\partial z}, \quad \varepsilon = \varepsilon_{11} + \varepsilon_{33}.$$

Компоненты тензора напряжений  $\sigma_{ij}$  в скелете и напряжения  $\sigma$  в жидкости связаны с тензорами деформаций физическими соотношениями [2]:

$$\sigma_{11} = 2\eta_1 e_{11} + \sigma_{22}, \quad \sigma_{12} = \sigma_{23} = 0, \quad \sigma_{13} = 2\eta_1 e_{13}, \quad (1.4)$$

$$\sigma_{22} = \eta_2 e + \eta_3 \varepsilon, \quad \sigma_{33} = 2\eta_1 e_{33} + \sigma_{22}, \quad \sigma = \eta_3 e + \eta_4 \varepsilon.$$

Предполагаем, что на бесконечности возмущения отсутствуют, а на границе полуплоскости заданы напряжения ( $\delta(x)$  - дельта-функция Дирака):

$$u|_{z=0} = 0, \quad \sigma_{33}|_{z=0} = \sigma|_{z=0} = \delta(x)\delta(\tau). \quad (1.5)$$

В начальный момент времени возмущения отсутствуют:

$$\varphi_k|_{\tau=0} = \psi|_{\tau=0} = \dot{\varphi}_k|_{\tau=0} = \dot{\psi}|_{\tau=0} = 0 \quad (k=1,2). \quad (1.6)$$

В соотношениях (1.1) – (1.5) и далее используются безразмерные величины (штрихи соответствуют безразмерным величинам; далее они опущены):

$$\begin{aligned} x' &= \frac{x}{L}, z' = \frac{z}{L}, u' = \frac{u}{L}, w' = \frac{w}{L}, U' = \frac{U}{L}, W' = \frac{W}{L}, \tau = \frac{c_1 t}{L}, \sigma'_{ij} = \frac{\sigma_{ij}}{H}, \sigma' = \frac{\sigma}{H}, \\ \psi' &= \frac{\psi}{L^2}, c_j^2 = \frac{P + Q\beta_j}{\rho_{11} + \rho_{12}\beta_j}, (j=1,2), c_3^2 = \frac{N}{\rho_{11} + \rho_{12}\beta_3}, \varphi_k = \frac{\varphi_k}{L^2}, \gamma_k = \frac{c_1}{c_k} \quad (k=1,2,3), \\ \beta_3 &= -\frac{\rho_{12}}{\rho_{22}}, \eta_1 = \frac{N}{H}, \eta_2 = \frac{A}{H}, \eta_3 = \frac{Q}{H}, \eta_4 = \frac{R}{H}, H = P + 2Q + R, P = A + 2N. \end{aligned}$$

Здесь  $L$  - некоторый линейный размер;  $t$  - размерное время;  $c_1$  и  $c_3$  - скорости распространения волн растяжения-сжатия и формоизменения в скелете;  $c_2$  - скорость распространения волн в жидкости;  $A$  и  $N$  - упругие постоянные скелета;  $R$  - давление, которое должно быть приложено к жидкости, чтобы заполнить пористый объем (при этом общий объем остается неизменным);  $Q$  - величина сцепления между твердыми и жидкими компонентами при деформации;  $\rho_{11}, \rho_{22}$  - эффективные массы компонент при их относительном движении;  $\rho_{12}$  - коэффициент динамической связи между твёрдым и жидким компонентами;  $\beta_j$  ( $j=1,2$ ) - безразмерные физические параметры, которые являются корнями уравнения

$$(\rho_{22}Q - \rho_{12}P)\beta_k^2 + (\rho_{22}P - \rho_{11}R)\beta_k + \rho_{12}P - \rho_{11}Q = 0.$$

## 2. Решение в пространстве изображений

К уравнениям (1.1) и граничным условиям (1.5) с учетом начальных условий (1.6) применяем преобразование Лапласа по времени и Фурье по пространственной координате  $x$  (индексы « $L$ » и « $F$ » указывают на соответствующие изображения, а  $s$  и  $q$  - параметры этих преобразований) [6]:

$$\frac{\partial^2 \varphi_l^{LF}}{\partial z^2} - k_l^2 (q^2, s^2) \varphi_l^{LF} = 0 \quad (l=1,2), \quad \frac{\partial^2 \psi^{LF}}{\partial z^2} - k_3^2 (q^2, s^2) \psi^{LF} = 0, \quad (2.1)$$

$$k_j(q, s) = \sqrt{q^2 + \gamma_j^2 s^2} \quad (j=1,2,3), \quad \operatorname{Re} \sqrt{\bullet} > 0;$$

$$u^{FL} \Big|_{z=0} = 0, \quad \sigma_{33}^{LF} \Big|_{z=0} = \sigma^{LF} \Big|_{z=0} = 1. \quad (2.2)$$

Общие решение уравнений (2.1) с учетом их ограниченности имеют вид:

$$\varphi_l^{LF} = C_l E_l(q, z, s) \quad (l=1,2), \quad \psi^{LF} = C_3 E_3(q, z, s), \quad E_j(q, z, s) = e^{-k_j(q^2, s^2)z} \quad (j=1,2,3), \quad (2.3)$$

где  $C_1, C_2$  и  $C_3$  - постоянные интегрирования.

Подстановка их в (1.2) - (1.4) приводит к следующим равенствам для изображений перемещений и напряжений на площадке, параллельной граничной плоскости:

$$\begin{aligned}
u^{FL} &= -iq [C_1 E_1(q, z, s) + C_2 E_2(q, z, s)] + C_3 k_3(q^2, s^2) E_3(q, z, s), \\
w^{FL} &= -C_1 k_1(q^2, s^2) E_1(q, z, s) - C_2 k_2(q^2, s^2) E_2(q, z, s), \\
U^{FL} &= -iq [C_1 \beta_1 E_1(q, z, s) + C_2 \beta_2 E_2(q, z, s)] + C_3 k_3(q^2, s^2) \beta_3 E_3(q, z, s), \\
W^{FL} &= -C_1 \beta_1 k_1(q^2, s^2) E_1(q, z, s) - C_2 \beta_2 k_2(q^2, s^2) E_2(q, z, s) - iq C_3 \beta_3 E_3(q, z, s);
\end{aligned} \tag{2.4}$$

$$\begin{aligned}
\sigma_{12}^{FL} &= \eta_1 \left\{ -2iq [C_1 E_1(q, z, s) k_1(q^2, s^2) + C_2 E_2(q, z, s) k_2(q^2, s^2)] \right. \\
&\quad \left. - k_4(q^2, s^2) C_3 E_3(q, z, s) \right\}, \\
\sigma_{33}^{FL} &= (2\eta_1 q^2 + \xi_1 \gamma_1^2 s^2) C_1 E_1(q, z, s) + (2\eta_1 q^2 + \xi_2 \gamma_2^2 s^2) C_2 E_2(q, z, s) + \\
&\quad + 2iq \eta_1 C_3 E_3(q, z, s) k_3(q^2, s^2), \\
\sigma^{FL} &= \xi_3 \gamma_1^2 s^2 C_1 E_1(q, z, s) + \xi_4 \gamma_2^2 s^2 C_2 E_2(q, z, s),
\end{aligned} \tag{2.5}$$

где

$$\begin{aligned}
k_4(q, s) &= 2q + \gamma_3^2 s, \quad \xi_1 = 2\eta_1 + \eta_2 + \eta_3 \beta_1, \quad \xi_2 = 2\eta_1 + \eta_2 + \eta_3 \beta_2, \\
\xi_3 &= \eta_3 + \eta_4 \beta_1, \quad \xi_4 = \eta_3 + \eta_4 \beta_2.
\end{aligned}$$

Подставляя равенства (2.4) и (2.5) в граничные условия (2.2), находим постоянные интегрирования. В результате изображения перемещений и напряжений записываются так:

$$\begin{aligned}
u^{FL} &= \sum_{j=1}^3 u_j^{FL}(q, s) E_j(q, z, s), \quad w^{FL} = \sum_{j=1}^2 w_j^{FL}(q, s) E_j(q, z, s), \\
U^{FL} &= \sum_{j=1}^3 U_j^{FL}(q, s) E_j(q, z, s), \quad W^{FL} = \sum_{j=1}^2 W_j^{FL}(q, s) E_j(q, z, s), \\
\sigma_{k3}^{FL} &= \sum_{j=1}^3 \sigma_{k3j}^{FL}(q, s) E_j(q, z, s) \quad (k=1, 3), \quad \sigma^{FL} = \sum_{j=1}^2 \sigma_j^{FL}(q, s) E_j(q, z, s).
\end{aligned} \tag{2.6}$$

Здесь

$$\begin{aligned}
u_l^{FL} &= (-1)^{l+1} \frac{iq}{\eta_1 \zeta_1 q^2 + \zeta_2 \gamma_1^2 \gamma_2^2 s^2} \left[ \eta_1 \frac{q^2}{s^2} + (-1)^l \alpha_l \gamma_{3-l}^2 \right], \quad U_j^{FL} = \beta_j u_j^{FL}(q, s); \\
w_l^{FL} &= (-1)^{l+1} \frac{iq k_l(q^2, s^2)}{\eta_1 \zeta_1 q^2 + \zeta_2 \gamma_1^2 \gamma_2^2 s^2} \left[ \eta_1 \frac{q^2}{s^2} + (-1)^l \alpha_l \gamma_{3-l}^2 \right], \quad W_l^{FL} = \beta_l w_l^{FL}(q, s); \\
u_3^{FL} &= -\frac{iq \zeta_3}{\eta_1 \zeta_1 q^2 + \zeta_2 \gamma_1^2 \gamma_2^2 s^2}; \quad \sigma_{13l}^{FL} = 2iq \eta_1 w_l^{FL}, \quad (j=1, 2, 3), \quad (l=1, 2), \\
\sigma_{133}^{FL} &= -\frac{iq s^2 \zeta_3}{(\eta_1 \zeta_1 q^2 + \zeta_2 \gamma_1^2 \gamma_2^2 s^2) \sqrt{q^2 + \gamma_3^2 s^2}} \left( 2 \frac{q^2}{s^2} + \gamma_3^2 \right);
\end{aligned} \tag{2.7}$$

$$\sigma_{33l}^{FL} = (-1)^{l+1} \frac{2\eta_1 q^2 + \xi_l \gamma_1^2 s^2}{\eta_1 \varsigma_1 q^2 + \varsigma_2 \gamma_1^2 \gamma_2^2 s^2} \left[ \eta_1 \frac{q^2}{s^2} + (-1)^l \alpha_l \gamma_{3-l}^2 \right], \sigma_{333}^{FL} = -2\eta_1 \varsigma_3 \frac{iq^2}{\eta_1 \varsigma_1 q^2 + \varsigma_2 \gamma_1^2 \gamma_2^2 s^2};$$

$$\sigma_l^{FL} = (-1)^{l+1} \frac{\xi_{l+2} \gamma_1^2}{\eta_1 \varsigma_1 q^2 + \varsigma_2 \gamma_1^2 \gamma_2^2 s^2} \left[ \eta_1 q^2 + (-1)^l \alpha_l \gamma_{3-l}^2 s^2 \right];$$

$$\alpha_1 = \xi_4 - \xi_2, \alpha_2 = \xi_1 - \xi_3,$$

$$\varsigma_1 = \xi_4 \gamma_2^2 - \xi_3 \gamma_1^2, \varsigma_2 = \xi_4 \xi_1 - \xi_2 \xi_3, \varsigma_3 = -\varsigma_1 \alpha_2 + \varsigma_2 \gamma_2^2.$$

Структура изображений в (2.7) такова, что она существенно затрудняет построение оригиналов для двумерной задачи при  $z > 0$ . Поэтому далее рассмотрим два частных случая.

### 3. Одномерная задача

В рамках указанной в п. 1 постановки задачи рассматриваем ее одномерный вариант, полагая, что искомые функции зависят только от одной пространственной координаты  $z$ . При этом граничные условия (1.5) заменяются следующими (нормальное перемещение скелета распределено равномерно по  $x$ ):

$$\sigma_{33}|_{z=0} = \sigma|_{z=0} = \delta(x) \delta(\tau). \quad (3.1)$$

Решение этой задачи в пространстве изображений может быть получено из формул (2.6), (2.7), в которых необходимо положить  $q = 0$ . В результате получаем следующие изображения перемещений ( $u = U \equiv 0$ ) и напряжений ( $\sigma_{13} \equiv 0$ ):

$$w^{FL} = -\frac{\alpha_1}{\varsigma_2 \gamma_1} \frac{e^{-\gamma_1 s z}}{s} - \frac{\alpha_2}{\varsigma_2 \gamma_2} \frac{e^{-\gamma_2 s z}}{s}, \quad W^{FL} = -\frac{\alpha_1 \beta_1}{\varsigma_2 \gamma_1} \frac{e^{-\gamma_1 s z}}{s} - \frac{\alpha_2 \beta_2}{\varsigma_2 \gamma_2 s} \frac{e^{-\gamma_2 s z}}{s}; \quad (3.2)$$

$$\sigma_{33}^{FL} = \frac{\alpha_1 \xi_1}{\varsigma_2} e^{-\gamma_1 s z} + \frac{\alpha_2 \xi_2}{\varsigma_2} e^{-\gamma_2 s z}, \quad \sigma^{FL} = \frac{\alpha_1 \xi_3}{\varsigma_2} e^{-\gamma_1 s z} + \frac{\alpha_2 \xi_4}{\varsigma_2} e^{-\gamma_2 s z}. \quad (3.3)$$

Оригиналы этих функций находятся с помощью свойств преобразования Лапласа и таблиц [6]:

$$w = -\frac{\alpha_1}{\varsigma_2 \gamma_1} \delta'(\tau - \gamma_1 z) - \frac{\alpha_2}{\varsigma_2 \gamma_2} \delta'(\tau - \gamma_2 z), \quad (3.4)$$

$$W = -\frac{\alpha_1 \beta_1}{\varsigma_2 \gamma_1} \delta'(\tau - \gamma_1 z) - \frac{\alpha_2 \beta_2}{\varsigma_2 \gamma_2 s} \delta'(\tau - \gamma_2 z);$$

$$\sigma_{33} = \frac{\alpha_1 \xi_1}{\varsigma_2} \delta(\tau - \gamma_1 z) + \frac{\alpha_2 \xi_2}{\varsigma_2} \delta(\tau - \gamma_2 z), \quad (3.5)$$

$$\sigma = \frac{\alpha_1 \xi_3}{\varsigma_2} \delta(\tau - \gamma_1 z) + \frac{\alpha_2 \xi_4}{\varsigma_2} \delta(\tau - \gamma_2 z).$$

где штрих обозначает производную.

#### 4. Решение двумерной задача на поверхности

Соответствующие изображения находим из формул (2.6) – (2.9), подставляя в них  $z = 0$ . При этом  $u^{LF}|_{z=0} = 0$ ,  $\sigma_{33}^{LF}|_{z=0} = \sigma^{LF}|_{z=0} = 1$ , что находится в согласии с граничными условиями (2.2). Для перемещений из (2.6) и (2.7) получаем следующий результат:

$$w^{FL} = \sum_{j=1}^2 w_j^{FL}(q, s), U^{FL} = \sum_{j=1}^3 U_j^{FL}(q, s), W^{FL} = \sum_{j=1}^3 W_j^{FL}(q, s), \sigma_{13}^{FL} = \sum_{j=1}^3 \sigma_{13j}^{FL}. \quad (4.1)$$

Для вычисления оригиналов слагаемые в этих суммах, определяемые равенствами в (2.7), преобразуем следующим образом:

$$\begin{aligned} w_l^{FL} &= (-1)^{l+1} \left[ \eta_l \frac{q^2}{s^2} + (-1)^l \alpha_l \gamma_{3-l}^2 \right] f_1^{FL}(q, s; \gamma_l), \\ U_l^{FL} &= (-1)^{l+1} \beta_l \left[ \eta_l \frac{q^2}{s^2} + (-1)^l \alpha_l \gamma_{3-l}^2 \right] f_2^{FL}(q, s), \\ W_l^{FL} &= \sum_1^3 \beta_l w_l^{FL}, \quad \sigma_{13l}^{FL} = 2iq\eta_l w_l^{FL}, U_3^{FL} = \beta_3 \zeta_3 f_2^{FL}(q, s), \\ W_3^{FL} &= \beta_3 \zeta_3 \frac{q^2}{s^2} f_3^{FL}(q, s), \quad \sigma_{133}^{FL} = -iq\zeta_3 \left( 2 \frac{q^2}{s^2} + \gamma_3^2 \right) f_3^{FL}(q, s). \end{aligned} \quad (4.2)$$

Здесь

$$\begin{aligned} f_1^{FL}(q, s; \gamma_l) &= \frac{\sqrt{q^2 + \gamma_l^2 s^2}}{\eta_l \zeta_1 q^2 + \zeta_2 \gamma_1^2 \gamma_2^2 s^2}, \quad f_2^{FL}(q, s) = \frac{iq}{\eta_l \zeta_1 q^2 + \zeta_2 \gamma_1^2 \gamma_2^2 s^2}, \\ f_3^{FL}(q, s) &= \frac{s^2}{(\eta_l \zeta_1 q^2 + \zeta_2 \gamma_1^2 \gamma_2^2 s^2) \sqrt{q^2 + \gamma_3^2 s^2}}. \end{aligned} \quad (4.3)$$

Оригинал функции  $f_2^{LF}(q, s)$  находим последовательным обращением преобразований Фурье и Лапласа с использованием свойств этих преобразований и таблиц [6]:

$$f_2^L(x, s) = \frac{1}{2} e^{-\gamma_1 \gamma_2 s \sqrt{\frac{\zeta_2}{\eta_1 \zeta_1}} |x|} \operatorname{sign} x, \quad f_2(x, \tau) = \frac{1}{2} \delta \left( \tau - \gamma_1 \gamma_2 s \sqrt{\frac{\zeta_2}{\eta_1 \zeta_1}} |x| \right) \operatorname{sign} x \quad (4.4)$$

Оригинал функций  $f_2^{LF}(q, s; \gamma_l)$ ,  $f_3^{LF}(q, s)$  определяем с помощью алгоритма совместного обращения преобразований Фурье и Лапласа, основанном на использовании аналитического представления изображения по Лапласу [6,7]:

$$\begin{aligned}
f_1^{FL}(q, s; \gamma_l) &\div -\frac{1}{2\pi} \lim_{\varepsilon \rightarrow +0} [\varphi(x+i\varepsilon, \tau) - \varphi(x-i\varepsilon, \tau)] = -\frac{1}{\pi} \frac{(\tau^2 - \gamma_l^2 x^2)_+^{1/2}}{\gamma_1^2 \gamma_2^2 \zeta_2 x^2 - \eta_1 \zeta_1 \tau^2}, \\
\varphi(z, \tau) &= -\frac{\sqrt{\lambda^2 + \gamma_l^2 s^2}}{z(\eta_1 \zeta_1 \lambda^2 + \zeta_2 \gamma_1^2 \gamma_2^2)}, \quad \lambda = \frac{\tau}{iz}; \\
iq_1^{FL}(q, s; \gamma_l) &= -\frac{1}{\pi} \frac{\partial}{\partial x} \frac{(\tau^2 - \gamma_l^2 x^2)_+^{1/2}}{\gamma_1^2 \gamma_2^2 \zeta_2 x^2 - \eta_1 \zeta_1 \tau^2} = -\frac{1}{\pi} Q_{11}(\tau, x) (\tau^2 - \gamma_l^2 x^2)_+^{-1/2}, \\
\frac{q^2}{s^2} f_1^{FL}(q, s; \gamma_l) &\div \frac{\tau^2}{\pi x^2} \frac{(\tau^2 - \gamma_l^2 x^2)_+^{1/2}}{\gamma_1^2 \gamma_2^2 \zeta_2 x^2 - \eta_1 \zeta_1 \tau^2}, \\
\frac{iq^3}{s^2} f_1^{FL}(q, s; \gamma_l) &= \frac{1}{\pi} \frac{\partial}{\partial x} \frac{\tau^2}{x^2} \frac{(\tau^2 - \gamma_l^2 x^2)_+^{1/2}}{\gamma_1^2 \gamma_2^2 \zeta_2 x^2 - \eta_1 \zeta_1 \tau^2} = \frac{\tau^4 x}{\pi} Q_{12}(\tau, x) (\tau^2 - \gamma_l^2 x^2)_+^{-1/2}, \\
\frac{q^2}{s^2} f_2^{LF}(q, s) &\div -\frac{\tau^2}{\pi x (\gamma_1^2 \gamma_2^2 \zeta_2 x^2 - \eta_1 \zeta_1 \tau^2)}, \quad f_3^{FL}(q, s) \div -\frac{x^2}{\pi} \frac{(\tau^2 - \gamma_3^2 x^2)_+^{-1/2}}{\gamma_1^2 \gamma_2^2 \zeta_2 x^2 - \eta_1 \zeta_1 \tau^2}, \\
iq_3^{FL}(q, s) &= -\frac{1}{\pi} \frac{\partial}{\partial x} \frac{x^2 (\tau^2 - \gamma_3^2 x^2)_+^{-1/2}}{\gamma_1^2 \gamma_2^2 \zeta_2 x^2 - \eta_1 \zeta_1 \tau^2} = -\frac{x}{\pi} Q_{31}(\tau, x) (\tau^2 - \gamma_3^2 x^2)_+^{-3/2}, \\
\frac{q^2}{s^2} f_3^{FL}(q, s) &\div \frac{\tau^2}{\pi} \frac{(\tau^2 - \gamma_3^2 x^2)_+^{-1/2}}{\gamma_1^2 \gamma_2^2 \zeta_2 x^2 - \eta_1 \zeta_1 \tau^2}, \\
\frac{iq^3}{s^2} f_3^{FL}(q, s) &= \frac{\tau^2}{\pi} \frac{\partial}{\partial x} \frac{(\tau^2 - \gamma_3^2 x^2)_+^{-1/2}}{\gamma_1^2 \gamma_2^2 \zeta_2 x^2 - \eta_1 \zeta_1 \tau^2} = \frac{\tau^2}{\pi} Q_{32}(\tau, x) (\tau^2 - \gamma_3^2 x^2)_+^{-3/2}, \\
Q_{11}(\tau, x; \gamma_l) &= \frac{(\eta_1 \zeta_1 \gamma_l^2 - 2\zeta_2 \gamma_1^2 \gamma_2^2) \tau^2 x + 2\zeta_2 \gamma_1^2 \gamma_2^2 \gamma_l^2 x^3}{(\gamma_1^2 \gamma_2^2 \zeta_2 x^2 - \eta_1 \zeta_1 \tau^2)^2}, \quad Q_{12}(\tau, x; \gamma_l) = \frac{3\eta_1 \zeta_1 \gamma_l^2 x^2 - 2\eta_1 \zeta_1 \tau^2}{(\gamma_1^2 \gamma_2^2 \zeta_2 x^2 - \eta_1 \zeta_1 \tau^2)^2}, \\
Q_{31}(\tau, x) &= \frac{\eta_1 \zeta_1 \gamma_3^2 \tau^2 x^2 - 2\eta_1 \zeta_1 \tau^4 + \gamma_3^2 \gamma_1^2 \gamma_2^2 \zeta_2 x^4}{(\gamma_1^2 \gamma_2^2 \zeta_2 x^2 - \eta_1 \zeta_1 \tau^2)^2}, \quad Q_{32}(\tau, x) = \frac{3\gamma_3^2 \gamma_1^2 \gamma_2^2 \zeta_2 x^3 - (2\gamma_1^2 \gamma_2^2 \zeta_2 + \eta_1 \zeta_1 \gamma_3^2) \tau^2 x}{(\gamma_1^2 \gamma_2^2 \zeta_2 x^2 - \eta_1 \zeta_1 \tau^2)^2}.
\end{aligned} \tag{4.5}$$

где « $\div$ » - знак соответствия изображения и оригинала; производные здесь и далее понимаются в обобщенном смысле:  $x_+^\alpha = x^\alpha H(x)$ ;  $H(x)$  - функция Хевисайда.

Используя теперь равенства (4.1) - (4.5), получаем оригиналы перемещений скелета и жидкости:

$$w = \sum_{j=1}^2 w_j(q, s), \quad U = \sum_{j=1}^3 U_j(q, s), \quad W = \sum_{j=1}^3 W_j(q, s), \quad \sigma_{13} = \sum_{j=1}^3 \sigma_{13j}. \tag{4.6}$$

Здесь

$$\begin{aligned}
w_l &= \frac{(-1)^{l+1}}{\pi} \left[ \eta_1 \frac{\tau^2}{x^2} + (-1)^{l+1} \alpha_l \gamma_{3-l}^2 \right] \frac{(\tau^2 - \gamma_l^2 x^2)_+^{1/2}}{\gamma_1^2 \gamma_2^2 \zeta_2 x^2 - \eta_1 \zeta_1 \tau^2}, \\
U_l^{FL} &= (-1)^{l+1} \beta_l \left[ \eta_1 \frac{\tau^2}{\pi x (\gamma_1^2 \gamma_2^2 \zeta_2 x^2 - \eta_1 \zeta_1 \tau^2)} + \frac{(-1)^l \alpha_l \gamma_{3-l}^2}{2} \delta \left( \tau - \gamma_1 \gamma_2 s \sqrt{\frac{\zeta_2}{\eta_1 \zeta_1}} |x| \right) \operatorname{sign} x \right], \\
W_l^{FL} &= \sum_1^3 \beta_l w_l^{FL}, \\
\sigma_{13l}^{FL} &= \frac{2\eta_1 (-1)^{l+1}}{\pi} \left[ \eta_1 \tau^4 x Q_{12}(\tau, x; \gamma_l) + (-1)^{l+1} \alpha_l \gamma_{3-l}^2 Q_{11}(\tau, x; \gamma_l) \right] (\tau^2 - \gamma_l^2 x^2)_+^{-1/2}, \\
U_3^{FL} &= \beta_3 \zeta_3 \frac{1}{2} \delta \left( \tau - \gamma_1 \gamma_2 s \sqrt{\frac{\zeta_2}{\eta_1 \zeta_1}} |x| \right) \operatorname{sign} x, \quad W_3^{FL} = \beta_3 \zeta_3 \frac{\tau^2}{\pi} \frac{(\tau^2 - \gamma_l^2 x^2)_+^{-1/2}}{\gamma_1^2 \gamma_2^2 \zeta_2 x^2 - \eta_1 \zeta_1 \tau^2}, \\
\sigma_{133}^{FL} &= -\frac{\zeta_3}{\pi} \left[ 2\tau^2 Q_{32}(\tau, x) - \gamma_3^2 x Q_{31}(\tau, x) \right] (\tau^2 - \gamma_3^2 x^2)_+^{-3/2}.
\end{aligned} \tag{4.7}$$

## 5. Пример

В качестве заполняющего полуплоскость материала рассмотрим песчаник, поры которого насыщены керосином, со следующими физическими характеристиками [3]:

$$\begin{aligned}
A &= 0,4026 \cdot 10^4 \text{ МПа}, \quad N = 0,2493 \cdot 10^3 \text{ МПа}, \quad R = 0,672 \cdot 10^4 \text{ МПа}, \quad Q = 0,295 \cdot 10^4 \text{ МПа}, \\
\rho_{11} &= 0,6087 \cdot 10^{-3} \text{ кг/м}^3, \quad \rho_{22} = 0,2159 \cdot 10^{-3} \text{ кг/м}^3, \quad \rho_{12} = -0,19 \cdot 10^{-5} \text{ кг/м}^3.
\end{aligned}$$

Этим величинам соответствуют следующие значения безразмерных параметров:

$$\begin{aligned}
\beta_0 &= 0,3; \beta_1 = 0,8757; \beta_2 = -10,3287; \beta_3 = 0,0088; \gamma_1 = 1; \gamma_2 = 2,1612; \gamma_3 = 1,963; \\
\eta_1 &= 0,055099; \eta_2 = 0,889802; \eta_3 = 0,651991; \eta_4 = 1,485214.
\end{aligned}$$

Результаты расчетов по формулам (4.6) напряжения  $\sigma_{33}$ , перемещений скелета  $w$  и жидкости  $U, W$  на поверхности полупространства в зависимости от координаты  $x$  представлены на рис. 1–4. Сплошные кривые соответствуют моменту времени  $\tau = 0,15$ , штрихпунктирные -  $\tau = 0,3$ , а пунктирные -  $\tau = 0,45$ . Графики построены только в правой полуплоскости, поскольку первые две функции являются нечетными, а вторые – четными. Отметим, что разрывы второго рода на графиках имеют место в точках  $|x| = (\tau\sqrt{2})/\gamma_3$ , а также в точках  $|x| = \tau/\gamma_k$  ( $k = 1, 2, 3$ ), определяющих фронты волн в скелете и жидкости.



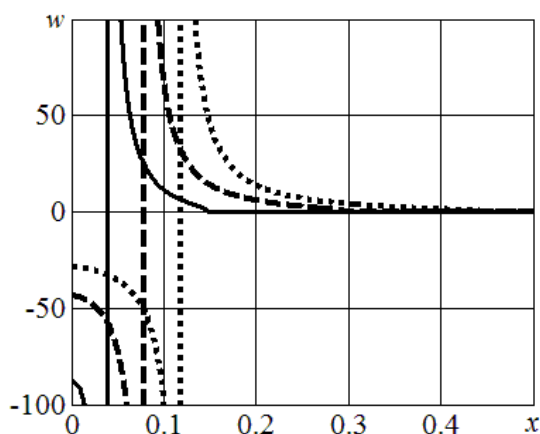


Рис.1

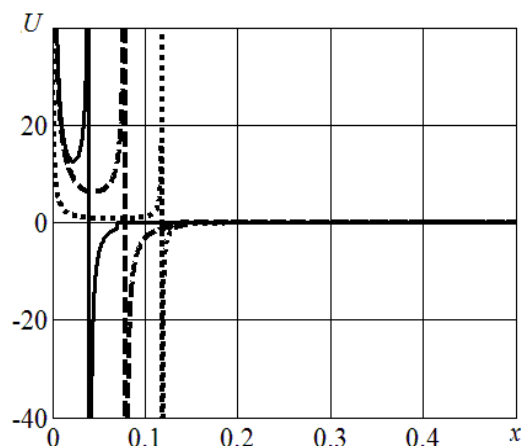


Рис.2

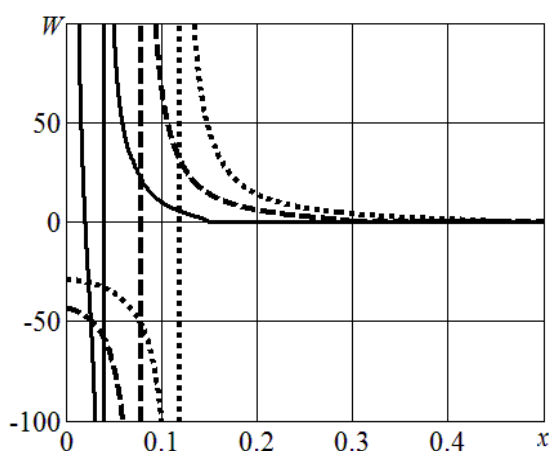


Рис. 3

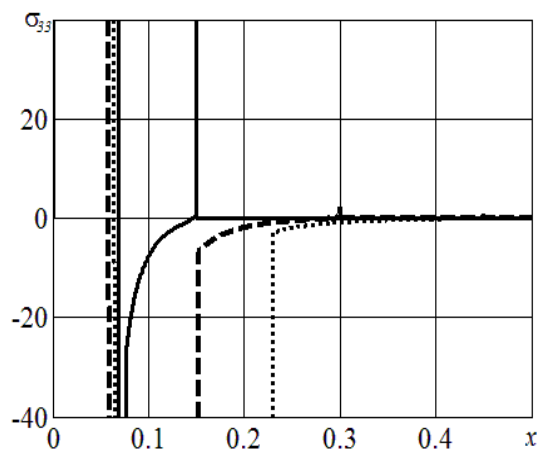


Рис. 4

### Библиографический список

1. Био М.А. Механика деформирования и распространения акустических волн в пористой среде // Механика: Сб. пер. и обзор иностр. литер. 1963. № 6. С. 103-134.
2. Наримов Ш.Н. Волновые процессы в насыщенных пористых средах. Ташкент: Мехнат, 1988. 304 с.
3. Горшков А.Г., Салиев А.А., Тарлаковский Д.В. Распространение нестационарных возмущений от сферической полости в упруго-пористой среде // ДАН УзССР, 1987. № 7. С. 15-16.
4. Белов А.А., Игумнов Л.А., Карелин И.С, Литвинчук С.Ю. Применение метода ГИУ для решения краевых задач трехмерных динамических теорий вязко- и пороупругости // Электронный журнал «Труды МАИ», 2010. Вып. № 40. 1-20.

5. Нгуен Нгок Хоа, Тарлаковский Д.В. Распространение нестационарных поверхностных кинематических возмущений в упруго-пористой полуплоскости // Механика композиционных материалов и конструкций, 2011, Т. 17, № 4. 483 – 492
6. Горшков А.Г., Медведский А.Л., Рабинский Л.Н., Тарлаковский Д.В. Волны в сплошных средах. М.: Физматлит, 2004. 472 с.
7. Горшков А.Г., Тарлаковский Д.В. Динамические контактные задачи с подвижными границами. М.: Физматлит, 1995. 352 с.

### **Сведения о авторах**

Нгуен Нгок Хоа, аспирант Московского авиационного института (национального исследовательского университета), тел.: (964)7987998, email: nguyenho.mta@gmail.com.

Тарлаковский Дмитрий Валентинович, профессор Московского авиационного института (национального исследовательского университета), д.ф.-м.н., тел.: (499)1584306, (903)7660347, e-mail: tvd902@mai.ru